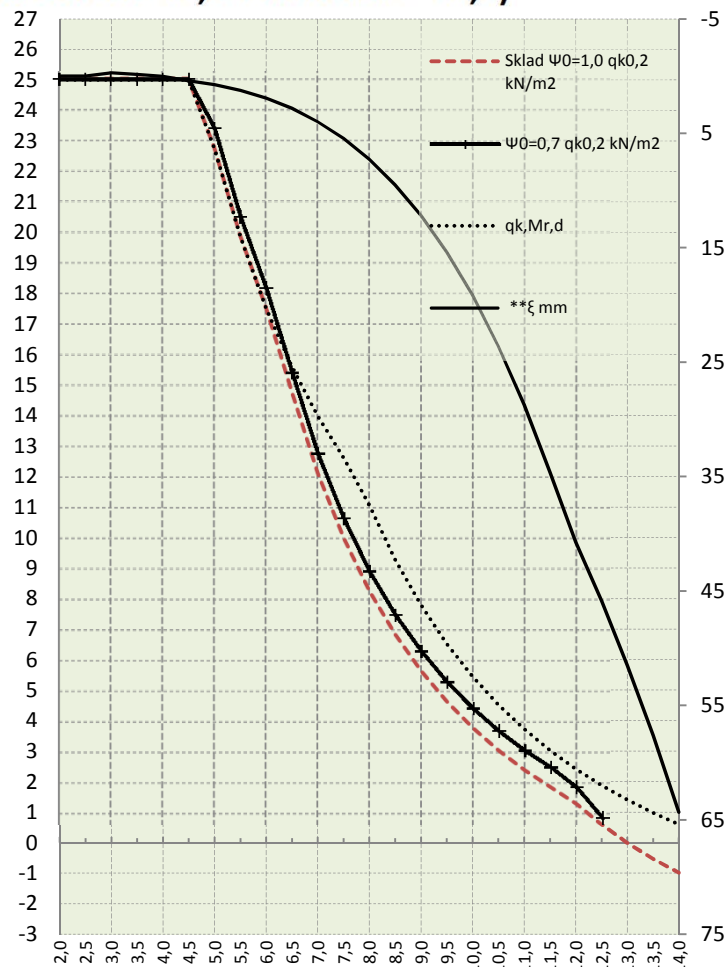


Statický výpočet PPD 270 (Lana: Dole: 8*12,5 + Nahoře: 2*12,5)

L	Skład	Ψ0=1,0	Ψ0=0,7	Mr,dek	Mr,cr	Mr0,2	Mr,d	**ξ	*Vrdct1
m	qk0,2	qk0,2	kN/m2	kNm	kNm	kNm	kNm	mm	kN
2,0	25,00	25,00							
2,5	25,00	25,00							
3,0	25,00	25,00		97,9	93,7	122,2	139,1	-0,30	100,1
3,5	25,00	25,00		97,1	107,4	144,7	164,0	-0,16	100,1
4,0	25,00	25,00		96,3	121,3	166,7	188,3	0,02	100,0
4,5	25,00	25,00		96,5	133,6	171,7	212,6	0,41	100,0
5,0	22,74	23,39		96,8	137,1	172,0	213,8	0,76	100,1
5,5	19,85	20,50		97,1	137,4	172,4	213,8	1,25	100,1
6,0	17,52	18,17		97,4	137,7	172,8	213,8	1,92	100,2
6,5	14,75	15,40		97,7	138,1	173,3	213,8	2,82	100,2
7,0	12,11	12,76		98,1	138,4	173,8	213,8	3,98	100,3
7,5	9,99	10,64		98,5	138,8	174,3	213,8	5,44	100,3
8,0	8,26	8,91		98,9	139,2	174,8	213,8	7,26	100,4
8,5	6,83	7,48		99,3	139,7	175,4	213,8	9,49	100,4
9,0	5,64	6,29		99,8	140,2	176,1	213,8	12,18	100,5
9,5	4,63	5,29		100,2	140,7	176,8	213,8	15,38	100,6
10,0	3,78	4,43		100,7	141,2	177,5	213,8	19,17	100,6
10,5	3,04	3,69		101,2	141,8	178,2	213,8	23,60	100,7
11,0	2,40	3,06		101,7	142,3	179,0	213,8	28,74	100,6
11,5	1,85	2,50		102,2	142,8	179,8	213,8	34,66	100,6
12,0	1,30	1,86		102,8	143,4	180,6	213,8	40,72	100,5
12,5	0,60	0,85		103,4	143,9	180,3	213,8	45,87	100,6
13,0	-0,01	-0,02		104,0	144,3	180,0	213,8	51,50	100,6
13,5	-0,53	-0,76		104,6	144,0	179,6	213,8	57,63	100,6
14,0	-0,99	-1,41		104,6	143,8	179,3	213,8	64,34	100,6
14,5									
15,0									
15,5									
16,0									



$q_d(kN/m^2) = \gamma_G \cdot (g_0 + 1,5) + \Psi_0 \cdot \gamma_Q \cdot q_{k0,2}$
 $q_d(kN/m^2) = \gamma_G \cdot \xi \cdot (g_0 + 1,5) + \gamma_Q \cdot q_{k0,2}$
 $\gamma_G (1,35) \dots$ návrhový koeficient
 $\xi (0,85) \dots$ redukční součinitel
 $g_0 (kN/m^2) \dots$ vlastní tíha
 $\gamma_Q (1,50) \dots$ návrhový koeficient
 $1,5 (kN/m^2) \dots$ g1 tíha úprav
 $q_k (kN/m^2) \dots$ charakteristické zatížení
 $\Psi_0 (1,0) \dots$ sklady
 $\Psi_0 (0,7) \dots$ ostatní

EC0 ČSN EN 1990 rovnice 6.10a 6.10b
 EC2 ČSN EN 1992 -1-1 (CZ); ČSN EN 1168+A3
 $M_{r,dek} (kNm/1,2m) \dots$ moment na mezi dekomprese
 X_{C2}/X_{C3}
 $M_{r,cr} (kNm/1,2m) \dots$ moment na mezi vzniku trhlin
 $M_{r0,2} (kNm/1,2m) \dots$ moment na mezi šířky trhlin
 $M_{r,d} (kNm/1,2m) \dots$ moment na mezi únosnosti
 $**\xi (mm) \dots$ průhyb
 $*V_{rdct1} (kNm/1,2m) \dots$ smyková únosnost pro oblast bez trhlin

Rozměry
 výška/šířka/skladebně/uložení
 265/1190/1200/150 mm

Krytí lan
 dolní řada/střední/horní
 29/-/30 mm

Hmotnosti
 manipulační/se zálivkou/zálivka
 411/432/21 kg/mb

Beton
 C45/55 XC1
 45 MPa
Ocel
 fpk/ fpk0,1%
 1770/1520 MPa

Tepelný odpor
 0,23 m2K/W
REI Požární odolnost
 50 minut

Vzduchová neprůzvučnost
 54 db
Vážená, normalizovaná hladina
kročeje zvuku
 82 db

